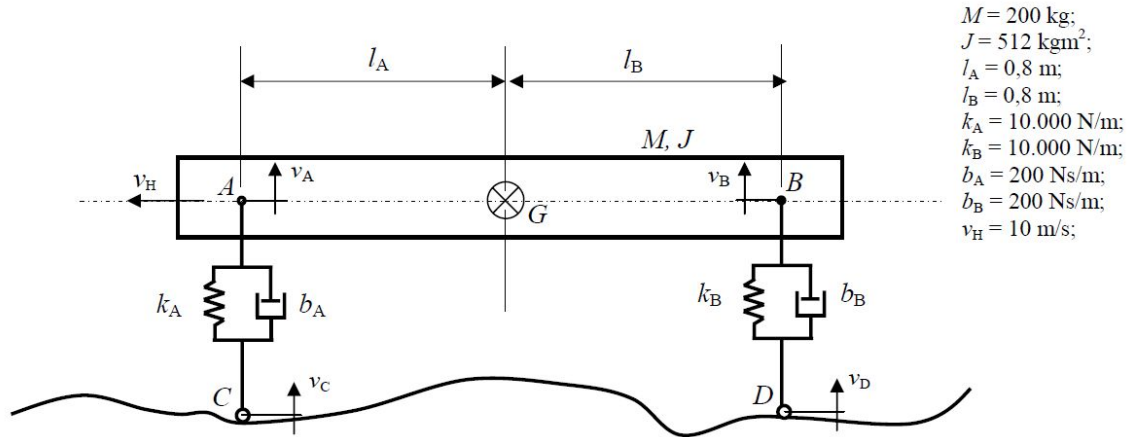


Lista G:
 Luís Felipe Biancardi Palharini
 N°Usp: 10773203

Enunciado:



Simule o sistema de suspensão para entrada do tipo degrau. Considere condições iniciais nulas e tempo de simulação de 4 segundos.

$$\mathbf{u} = \begin{bmatrix} v_C \\ v_D \end{bmatrix} \quad v_C = \begin{cases} 0 & \text{se } t < 0 \\ 1 & \text{se } t \geq 0 \end{cases} \quad v_D = \begin{cases} 0 & \text{se } t < t_d \\ 1 & \text{se } t \geq t_d \end{cases}$$

Explique o tipo de obstáculo físico que é representado pela entrada degrau, e explique por que a entrada v_D ocorre t_d segundos após a entrada v_C (deve-se calcular t_d antes de se fazer a simulação).

Mostre os gráficos das saídas pelo tempo.

Simule o sistema de suspensão para entrada do tipo seno. Considere condições iniciais nulas. Simule por tempo suficiente para mostrar cerca de 20 períodos.

Entradas (observe que são duas simulações diferentes):

$$v_C = v_D = \text{sen}(9,8995t)$$

$$v_C = -v_D = \text{sen}(4,9875t)$$

Repita as simulações para valores maiores e menores de freqüência. Compare os resultados.

Mostre os gráficos das saídas pelo tempo.

Calcule os coeficientes de amortecimento, as freqüências naturais, as freqüências naturais amortecidas e as freqüências de ressonância.

Modelagem - Lista 9 - $\frac{1}{2}$ Carro.

TQM1:

$$M_{G_2} = J \cdot \ddot{\omega} = \begin{cases} -(l_a \cos \alpha) \ddot{e} \times [-(K_a(x_A - x_c) + b_a(\dot{x}_a - \dot{x}_c))] \hat{j} \\ + (l_b \cos \alpha) \ddot{e} \times [-(K_b(x_B - x_d) + b_b(\dot{x}_b - \dot{x}_d))] \hat{j} \end{cases}$$

$$J \cdot \ddot{\omega} = l_a K_a (x_A - x_c) - l_b K_b (x_B - x_d) + l_a b_a (\dot{x}_a - \dot{x}_c) - l_b b_b (\dot{x}_b - \dot{x}_d)$$

TQM2:

$$B = m \ddot{a}_{G_2} = -K_a(x_A - x_c) - b_a(\dot{x}_a - \dot{x}_c) - K_b(x_B - x_d) - b_b(\dot{x}_b - \dot{x}_d)$$

Substitua por $v_p = v_0 + \omega \wedge (P-O)$

$$v_a \hat{j} = v_G \hat{j} + \omega \hat{k} \wedge (-l_a \cos \alpha \hat{i} - l_a \sin \alpha \hat{j})$$

$$v_b \hat{j} = v_G \hat{j} + \omega \hat{k} \wedge (l_b \cos \alpha \hat{i} + l_b \sin \alpha \hat{j})$$

$$v_a = v_G - l_a \omega \quad / \quad v_b = v_G + l_b \omega \quad \begin{matrix} \approx \cos \alpha \approx 1 \\ \sin \alpha \approx 0 \end{matrix}$$

$$\begin{bmatrix} \ddot{x}_a \\ \ddot{x}_b \\ \ddot{v}_G \\ \ddot{\omega} \end{bmatrix} = \begin{bmatrix} 0 & 0 & 1 & -l_a \\ 0 & 0 & 1 & l_b \\ \frac{K_a}{M} & -\frac{K_b}{M} & -\frac{(b_a + b_b)}{M} & \frac{b_a l_a - b_b l_b}{M} \\ \frac{l_a K_a}{J} & -\frac{l_b K_b}{J} & \frac{l_a b_a - l_b b_b}{J} & -\frac{(l_a l_a^2 + b_b l_b^2)}{J} \end{bmatrix} \begin{bmatrix} x_a \\ x_b \\ v_G \\ \omega \end{bmatrix} +$$

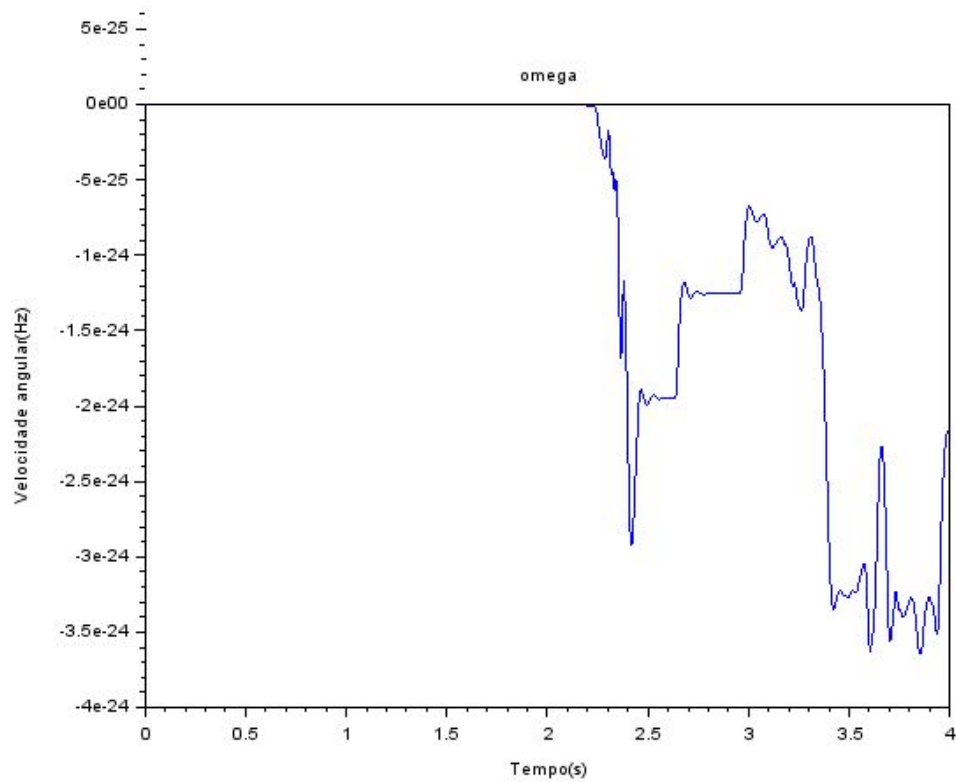
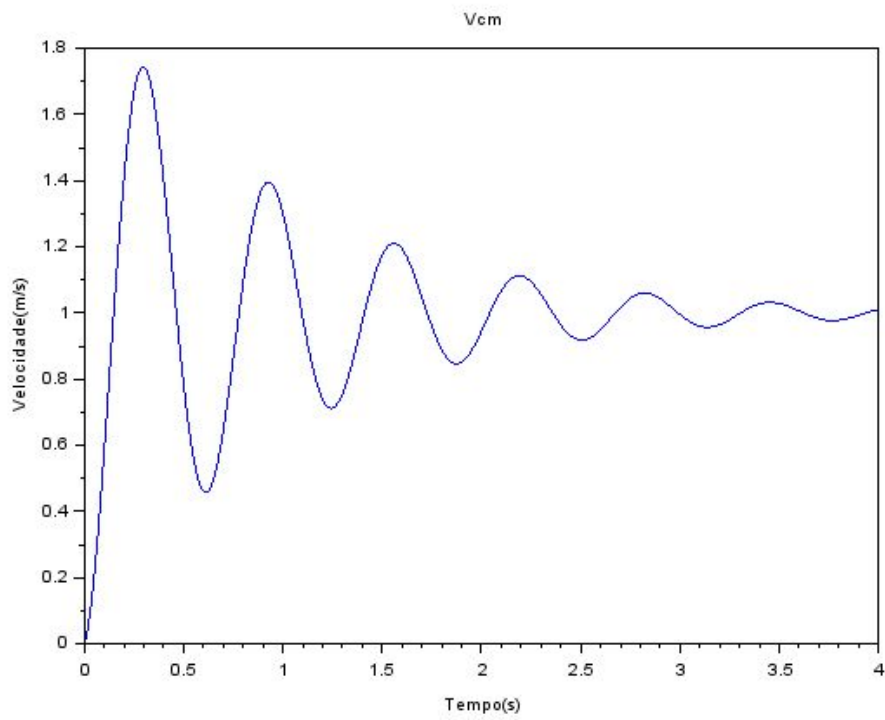
$$+ \begin{bmatrix} 0 & 0 & 0 & 0 \\ 0 & 0 & 0 & 0 \\ \frac{K_c}{M} & \frac{K_d}{M} & \frac{b_c}{M} & \frac{b_d}{M} \\ -\frac{l_a K_a}{J} & \frac{l_b K_b}{J} & -\frac{l_a b_a}{J} & \frac{l_b b_b}{J} \end{bmatrix} \begin{bmatrix} x_c \\ x_d \\ \dot{x}_c \\ \dot{x}_d \end{bmatrix}$$

Tempo de resposta:

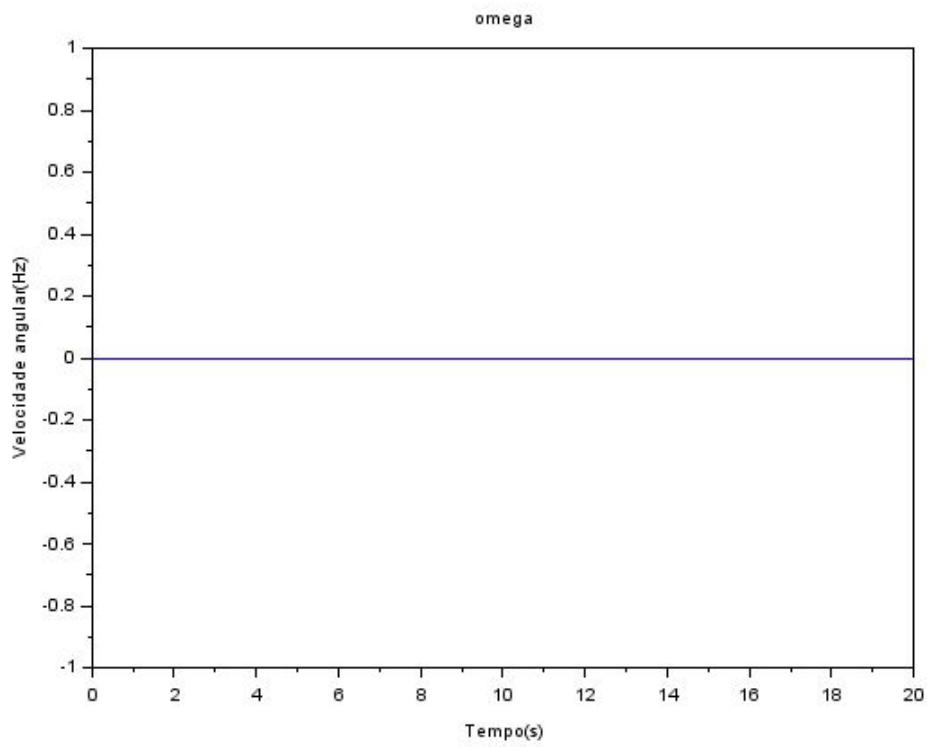
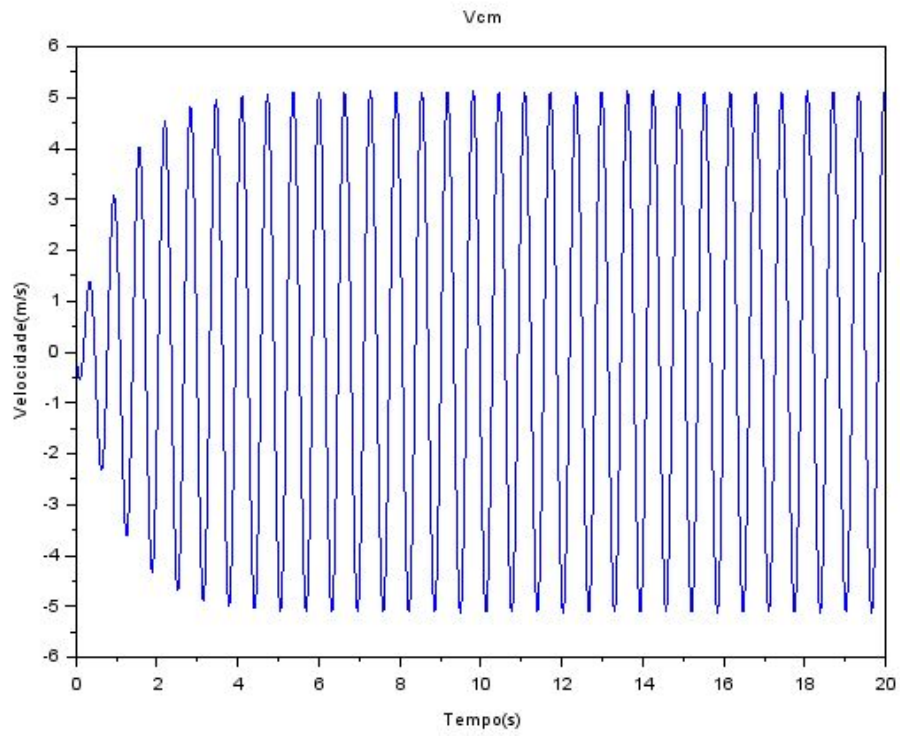
$$v_{11} = \frac{l_a + l_b}{2D}$$

$$\therefore T_D = \frac{l_a + l_b}{4}$$

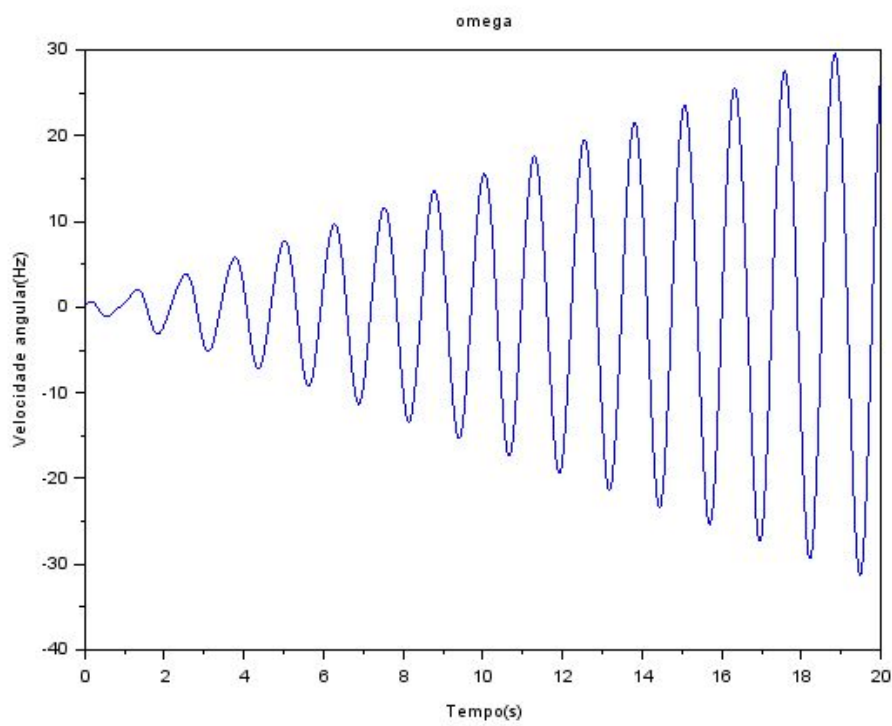
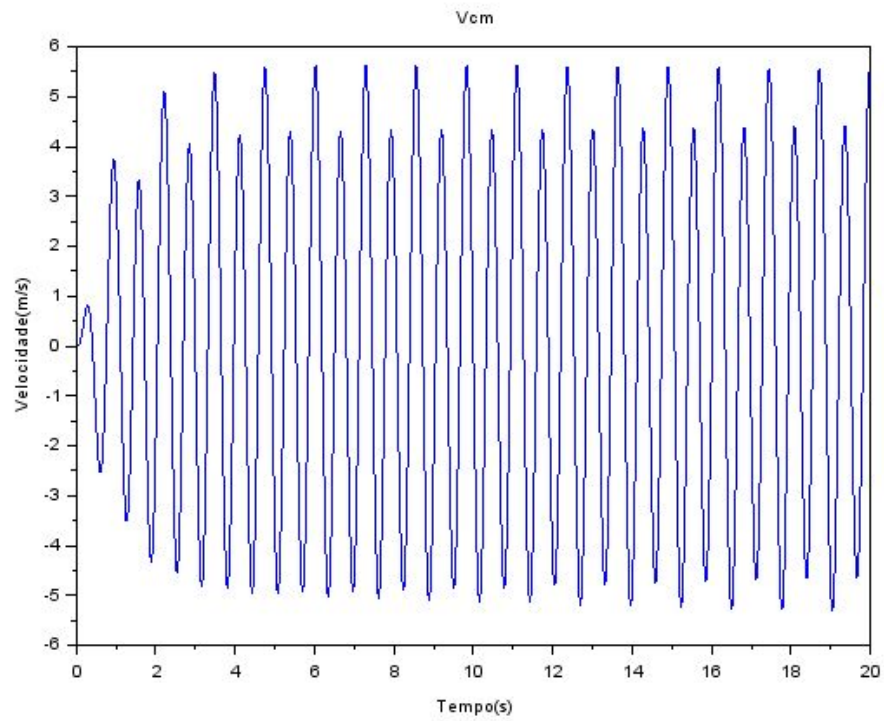
Simulação 1:



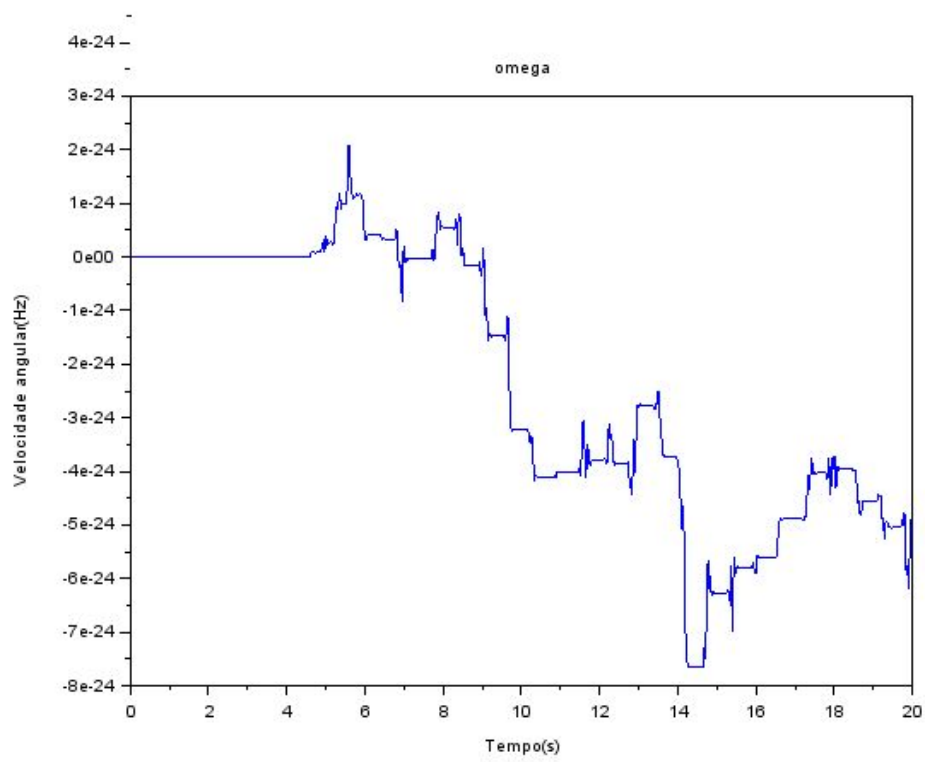
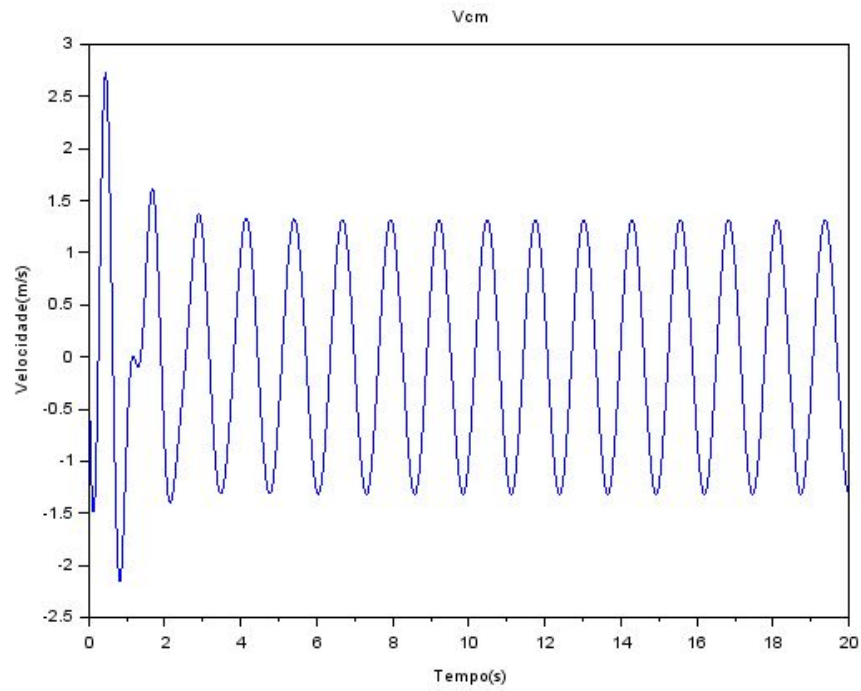
Simulação 2a:



Simulação 2b:



Simulação 2c:



Comentários dos resultados:

O resultado da primeira simulação nos mostra o comportamento do meio carro após ser abandonado de uma dada posição. Percebe-se que o comportamento do conjunto é o mesmo de um massa-mola amortecido. Além disso, por uma questão de simetria do estado inicial e do esforço imposto (neste caso, nulo), observa-se que a velocidade angular se mantém nula durante toda a simulação.

Já na segunda simulação, observa-se que a velocidade do centro de massa varia no formato de uma senoide, indicando o comportamento oscilatório. Nota-se ainda que, como o esforço é simétrico entre os eixos, a velocidade angular se mantém nula. Para a simulação 2b, entretanto, esta última hipótese torna-se falsa, e observa-se uma velocidade angular de comportamento senoidal crescente.

Na última simulação, intitulada 3c, impõe-se o mesmo esforço simétrico, mas desta vez com metade da frequência anterior. Observa-se que a frequência de oscilação do corpo, naturalmente, caiu pela metade. Entretanto, a amplitude do movimento também diminuiu. Este comportamento específico é bem explicado pelo diagrama de Bode da variável V_g , para a qual frequências abaixo da ressonância (i.e. $\frac{9.8995}{2\pi}$) sofrem um amortecimento por parte do sistema.

Diagramas de Bode:

